

- [5] Воробьев В.С., Максименко С.В. // Квантовая электроника. 1988. Т. 15. № 12. С. 2537-2546.
- [6] Ursu I., Apostol I., Dinescu M., Hening A., Michalescu N., Prokhorov A.M., Chapliev N.I., Konov V.I. // J. Appl. Phys. 1985. V. 58. N 5. P. 1765-1771.
- [7] Бабаева Н.А., Белоусов С.К., Васьковский Ю.М., Конов В.И., Прохоров А.М., Ровинский Р.Е., Чаплиев Н.И. // Квантовая электроника. 1986. Т. 13. № 3. С. 493-496.

Институт высоких температур
АН СССР, Москва

Поступило в Редакцию
26 января 1990 г.

Письма в ЖТФ, том 16, вып. 6

26 марта 1990 г.

06.2; 06.3

© 1990

УЗКОПОЛОСНЫЕ СЕЛЕКТИВНЫЕ ФОТОПРИЕМНИКИ НА ОСНОВЕ СТРУКТУР ШОТТКИ

Л.В. Беляков, Д.Н. Горячев,
Б.Д. Румянцев, О.М. Сресели,
И.Д. Ярошецкий

Структуры Шоттки с периодически профилированной поверхностью (рельефной дифракционной решеткой - ДР) обладают фоточувствительностью, селективной по отношению к длине волны, поляризации и углу падения света [1, 2]. На их основе возможно создание узкополосных селективных фотоприемников, поляризационно-чувствительных детекторов, датчиков угловых перемещений источника излучения и других аналогичных устройств.

В большинстве применений требуется достаточно высокая селективность фотоответа и превышение сигнала в максимуме I_{\max} над сигналом вдали от резонанса I_0 по крайней мере в несколько десятков раз.

Нами проведен теоретический анализ работы указанных структур и обнаружено, что их селективные свойства могут быть улучшены за счет оптимизации параметров - глубины рельефа и толщины слоя металла. В настоящем сообщении представлены результаты исследования фотоответа структур $Ag-n-GaAs$ с профилированной поверхностью, обладающих высокой селективностью в видимой области спектра (полуширина пика фотоответа $\Delta\theta$ на длине

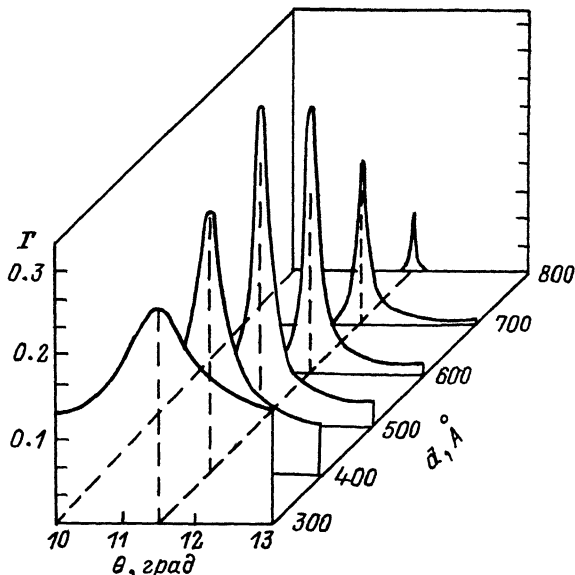


Рис. 1. Угловые зависимости величины Γ . Параметры расчета: шаг ДР - 0.762 мкм, глубина ДР - 200 Å, $\lambda = 0.6328$ мкм, диэлектрические проницаемости $\epsilon - \epsilon(Ag) = -18.3 + i0.45$, $\epsilon(GaAs) = 14.8 + i1.6$.

волны 0.6328 мкм составляет менее 30 угловых минут, что соответствует спектральной полуширине $\Delta\lambda$ (около 4 нм) и отношением $I_{\max}/I_0 = 25$.

Пик фотоответа связан с резонансным туннелированием света сквозь металлическую пленку через состояние ПЭВ (поверхностной электромагнитной волны) на границе металл – воздух. Спектральная ширина резонансного пика определяется радиационными и нерадиационными потерями. Нерадиационные потери вызываются, главным образом, диссипацией ПЭВ в металлической пленке. Наименьшие потери на диссипацию наблюдаются в структурах с серебряными пленками, затем – с золотыми. Радиационные потери связаны с переизлучением ПЭВ на ДР и нерегулярных шероховатостях, а также с переизлучением в полупроводнике.

Для оценки возможностей таких структур в качестве селективных фотоприемников был выполнен численный расчет распределения электромагнитных полей в системе воздух – Ag – n – GaAs при возбуждении ПЭВ на границе воздух – металл с использованием релеевского разложения [3–5]. Вычислялась величина Γ – отношение интенсивности прошедшего в полупроводник света к интенсивности падающего света.

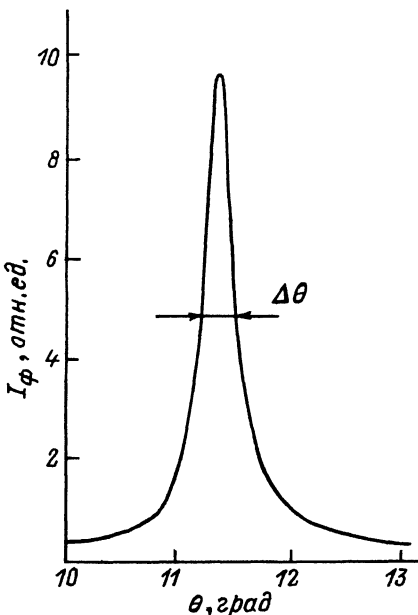


Рис. 2. Зависимость фотоответа I_ϕ структуры $Ag-n-GaAs$ от угла падения θ ρ -поляризованного света с $\lambda = 0.6328$ мкм.

Величина резонансного поля в полупроводнике немонотонно зависит от глубины ДР и от толщины металлического слоя. На обеих зависимостях существуют максимумы, при этом оптимальная глубина синусоидального профиля ДР, при которой максимальная доля падающей волны превращается в ПЭВ, в свою очередь, зависит от толщины слоя металла d . На рис. 1 представлены угловые зависимости Γ при разных d , причем глубина ДР выбрана оптимальной для $d = 500$ Å. Остальные параметры расчета выбирались соответствующими условиям эксперимента. Расчетные значения усиления и полуширины пика (угловой и спектральной) приведены в таблице.

Из этих данных видно, что результаты, полученные ранее, например, [2], могут быть существенно улучшены за счет оптимизации структур. Надо отметить также, что увеличение диэлектрической проницаемости металла (по абсолютной величине), например, за счет сдвига рабочей длины волны в ИК область спектра, приводит к соответствующему улучшению всех параметров резонанса.

Были изготовлены структуры Шоттки на основе n - $GaAs$ с концентрацией электронов около $5 \cdot 10^{16}$ см $^{-3}$. На поверхности полупроводника методом фотокимического травления [6] создавалась ДР с шагом 0.762 мкм и глубиной 190 Å, а затем наны-

d (\AA)	Γ	$I_{\text{макс}} / I_0$	$\Delta\theta$ (град)	$\Delta\lambda$ (нм)
300	26.7	2	0.90	12.0
400	32.2	6	0.48	6.3
500	37.7	16	0.30	4.0
600	32.9	32	0.21	2.7
700	20.9	48	0.18	2.4
1000	2.2	64	0.16	2.2

лялся слой толщиной 700 \AA . Угловая характеристика фотоответа структуры изображена на рис. 2. Полуширина пика составляет 0.29 град., что соответствует спектральной полуширине 3.8 нм, усиление достигает 25. Полученные результаты в 1.5–2 раза выше расчетных. По-видимому, это связано с тем, что расчет не учитывает радиационные потери, вызываемые случайной шероховатостью поверхности.

Таким образом, эксперимент подтверждает правильность выбранной модели и возможность улучшения селективных свойств фотоприемников на структурах Шоттки при оптимизации их параметров.

Список литературы

- [1] Беляков Л.В., Горячев Д.Н., Сресели О.М., Ярошенский И.Д. // Письма в ЖТФ. 1985. Т. 11. В. 19. С. 1162–1165.
- [2] Jestl M., Kock A., Beinstine W., Gornik E. // J. Opt. Soc. Am. A. 1988. V. 5. N 9. P. 1581–1584.
- [3] Toiso F., Marvin A., Celli V., Hill N.R. // Phys. Rev. B. – Solid State. 1977. V. 15. P. 5618–5620.
- [4] Elson J.M., De Sandre L.F., Stanford J.L. // J. Opt. Soc. Am. A. 1988. V. 5. N 1. P. 74.
- [5] Беляков Л.В., Горячев Д.Н., Макарова Т.Л., Румянцев Б.Л., Сресели О.М., Ярошенский И.Д. // ФТП. 1989. Т. 23. В. 11. С. 1196–1199.
- [6] Беляков Л.В., Горячев Д.Н., Паричкий Л.Г., Сресели О.М. // ФТП. 1976. Т. 10. В. 8. С. 1603.

Поступило в Редакцию
6 декабря 1989 г.